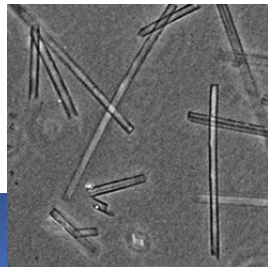
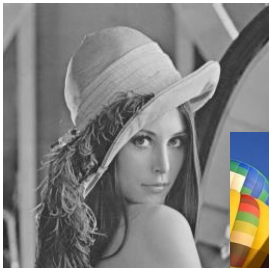


# CO7SFTS0

## Projet de réalité augmentée

Marc Donias



# Initiation au Traitement des Images

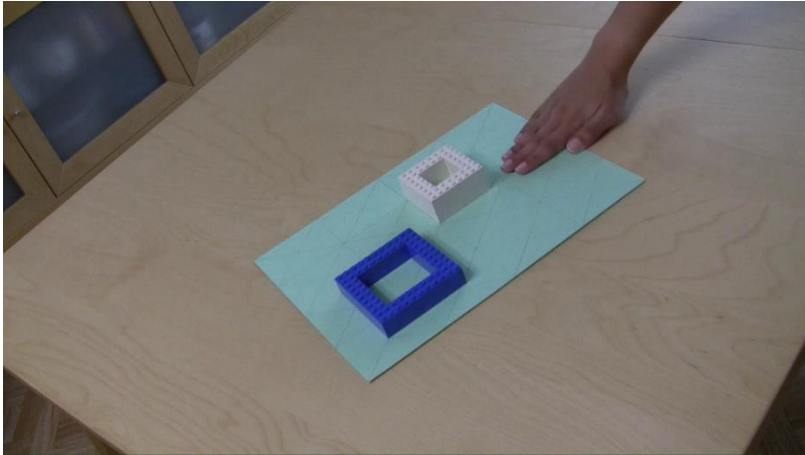
---



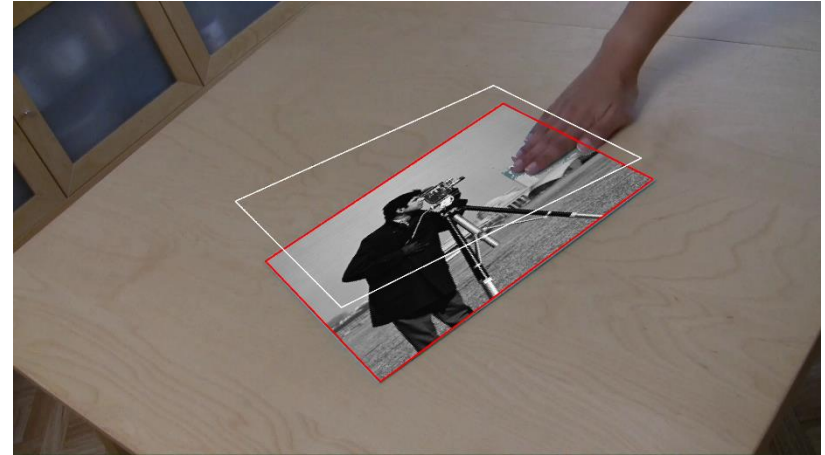
---

I – Sujet

# Application de réalité augmentée



vidéo initiale



remplacement et ajout de contenu

- ▶ Détection et suivi de coins
  - Analyse variationnelle et statistique
  - “Trajectographie”
- ▶ Réalité augmentée
  - Transformation d'espace
  - Incrustation de nouveaux contenus

# Réalisations



# Plan

---

- ▶ Chaîne algorithmique
- ▶ Suivi de points avec le détecteur de Harris
- ▶ Transformations géométriques planes rigides
- ▶ Prise en compte de la main
- ▶ Ajout de contenus 3D
- ▶ Implémentation

# Initiation au Traitement des Images

---



---

## II – Chaîne algorithmique

# Remplacement de contenu (1 / 3)

---

- ▶ Détection du polygone de la feuille
  - Gradient d'intensité
    - Filtres de Canny (paramètres d'échelle)
    - Estimation des composantes horizontale et verticale
  - Initialisation/Suivi des 4 coins
    - Détecteur de Harris (variationnel et statistique)
      - Covariance des gradients
      - Combinaison Trace/Déterminant
      - Détecteur multi-échelle par association de deux détecteurs
    - Recherche de maxima locaux
      - Crible exhaustif large
      - Prédiction linéaire de trajectoire et crible exhaustif étroit

# Remplacement de contenu (2 / 3)

---

- ▶ Remplacement de contenu du polygone
  - Détermination d'une homographie
    - ❑ Appariement coins du polygone/coins du contenu
    - ❑ Résolution exacte ou aux moindres carrés (si ajout d'autres points)
  - Transformation « homographique » d'une source
    - ❑ Application de l'homographie
    - ❑ Recopie du contenu (image ou image animée)
  - Prise en compte de la main
    - ❑ Modèle colorimétrique de la feuille
    - ❑ Segmentation partielle (« à droite »)
    - ❑ Masque de non-remplacement



# Remplacement de contenu (3 / 3)

---

- ▶ Ajout de contenus 3D
  - Détermination d'une transformation 3D vers 2D
    - Détection et suivis des coins du polygone et des structures
    - Appariement points observés 2D/points théoriques 3D
    - Résolution aux moindres carrés
  - Ajout de structures « en fil de fer »
    - Modèle de contenu 3D statique ou dynamique
    - Application de la transformation 3D vers 2D
    - Tracé de segments

# Initiation au Traitement des Images

---



---

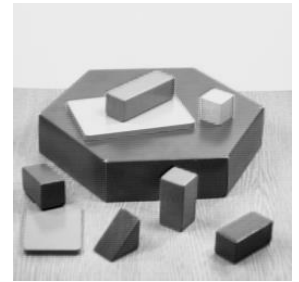
## III – Suivi de points avec le détecteur de Harris

# Approche variationnelle/statistique

- Covariance locale des gradients

$$C(x, y) = \begin{bmatrix} \sum_{\Omega} I_x(x, y) I_x(x, y) & \sum_{\Omega} I_x(x, y) I_y(x, y) \\ \sum_{\Omega} I_x(x, y) I_y(x, y) & \sum_{\Omega} I_y(x, y) I_y(x, y) \end{bmatrix}$$

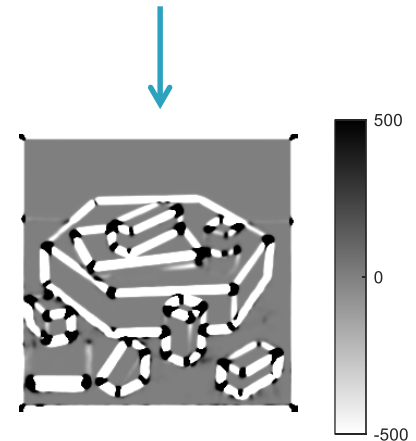
Approche de Canny



- Combinaison Déterminant/Trace

$$D(x, y) = \text{Det} (C(x, y)) - \lambda \text{Trace}(C(x, y))^2$$

pondérateur ~ 0,05



# Implémentation matricielle

- Estimation des dérivées en tout point par l'approche de Canny

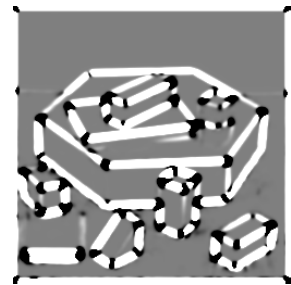
$$I_x^{\sigma_G} = I * G_x^{\sigma_G} \quad , \quad I_y^{\sigma_G} = I * G_y^{\sigma_G}$$

- Calcul de l'ensemble des covariances (moyennage gaussien)

$$C^{\sigma_G, \sigma_C} = \begin{bmatrix} C_{xx}^{\sigma_G, \sigma_C} & C_{xy}^{\sigma_G, \sigma_C} \\ C_{xy}^{\sigma_G, \sigma_C} & C_{yy}^{\sigma_G, \sigma_C} \end{bmatrix} \quad , \quad C_{xy}^{\sigma_G, \sigma_C} = (I_x^{\sigma_G} I_y^{\sigma_G}) * G_{\sigma_C}$$

- Calcul du détecteur en tout point

$$D^{\sigma_G, \sigma_C} = C_{xx}^{\sigma_G, \sigma_C} C_{yy}^{\sigma_G, \sigma_C} - (C_{xy}^{\sigma_G, \sigma_C})^2 - \lambda (C_{xx}^{\sigma_G, \sigma_C} + C_{yy}^{\sigma_G, \sigma_C})^2$$



$\sigma_C = 2$



$\sigma_C = 3$

# Détecteur robuste multi-échelle

## ► Détecteur mono-échelle

- Paramètre d'échelle  $\sigma_G$  du gradient
- Paramètre d'échelle  $\sigma_C$  de la covariance
- Intervalles de valeurs
  - Valeurs fortement positives : coins
  - Valeurs proches de 0 : régions quasi-uniformes
  - Valeur fortement négatives : contours

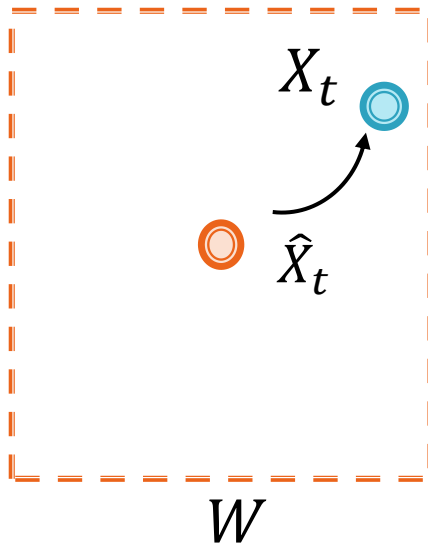
}  $D^{\sigma_G, \sigma_C}$

## ► Combinaison multi-échelle

$$D = \min \left( D_1^{\sigma_G, \sigma_{C_1}} \mid D_2^{\sigma_G, \sigma_{C_2}} \mid, \mid D_1^{\sigma_G, \sigma_{C_1}} \mid D_2^{\sigma_G, \sigma_{C_2}} \right)$$

# Trajectographie linéaire

- ▶ Suivi/Poursuite de trajectoire
  - Position approximative  $\hat{X}_t$
  - Position exacte  $X_t$  par recherche du maximum dans un voisinage  $W$



- ▶ Stratégie « statique »

recopie  $\hat{X}_t = X_{t-1}$

- ▶ Stratégie « dynamique »

prédiction linéaire  $\hat{X}_t = X_{t-1} + \frac{X_{t-1} - X_{t-2}}{2}$

# Paramètres « fonctionnels »

---

- ▶ Détecteur de Harris multi-échelle

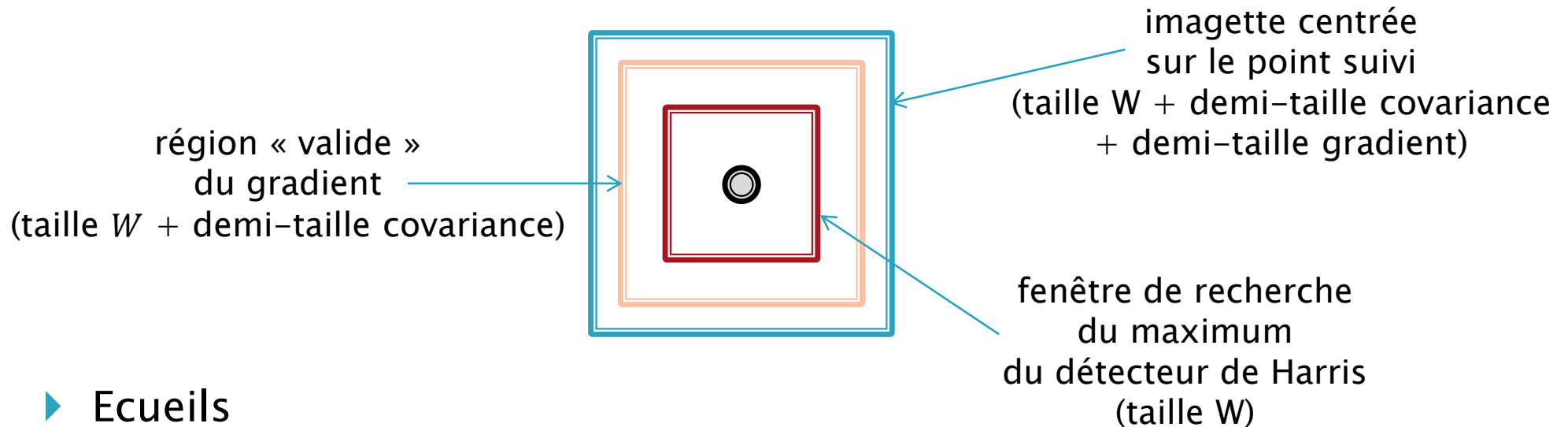
$$\begin{cases} \sigma_G \approx 2 \\ \sigma_{C_1} \approx 3 \\ \sigma_{C_2} \approx 5 \end{cases}$$

- ▶ Fenêtre de recherche du maximum

$$W = 37$$

# Calculs accélérés

- ▶ Principe : calcul d'un détecteur de Harris centré sur chaque point suivi
  - Découpe d'une imagerie de taille « adéquate »
  - Calculs convolutifs en conservant uniquement la partie « valide »



- ▶ Ecueils
  - Aspect multi-échelle
  - Maximum détecté en coordonnées relatives
  - Gestion de l'éventuelle « sortie » de l'image lors de la découpe



# Initiation au Traitement des Images

---



---

## IV – Transformations géométriques planes rigides

# Contextes « plans »

## ► Prétraitement



Décodage  
de QR-code

## ► Alignement



Mosaïque de  
prise de vues

## ► Remplacement

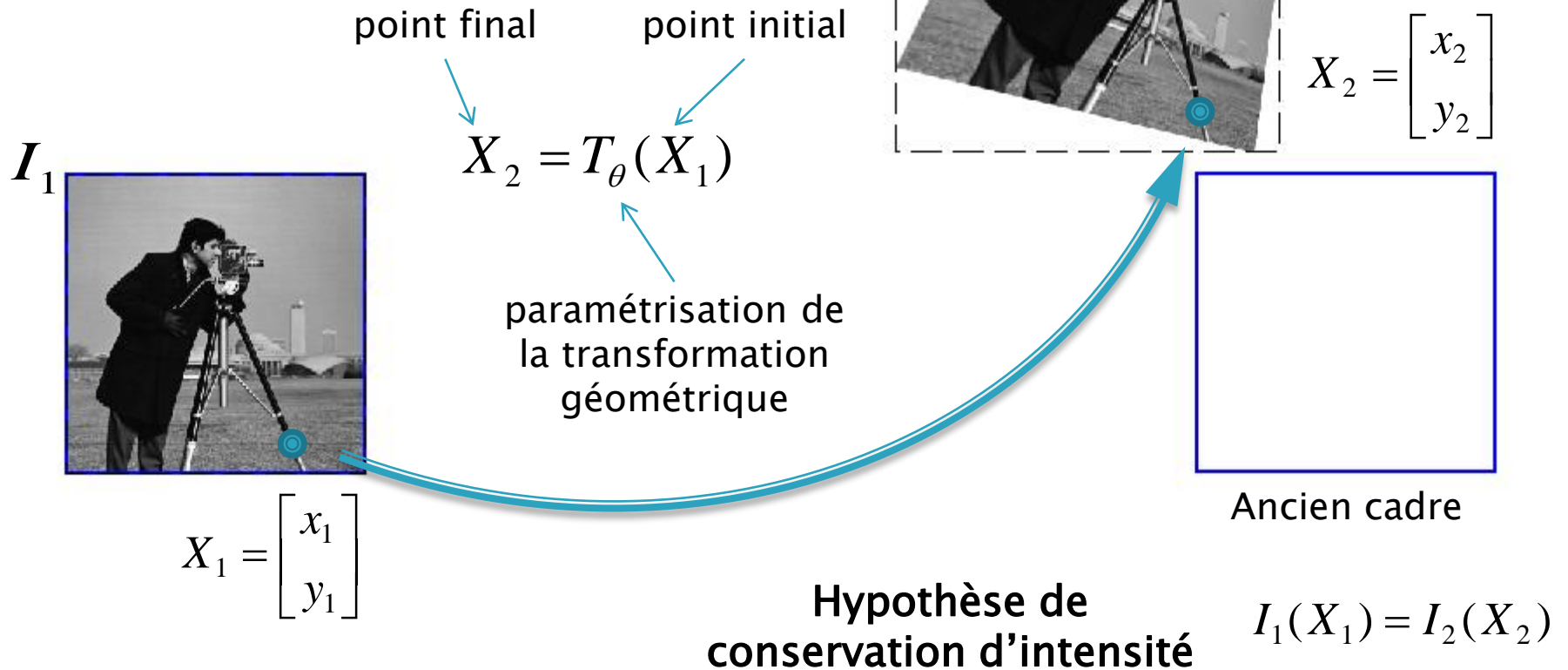


Réalité  
augmentée

# Formalisme

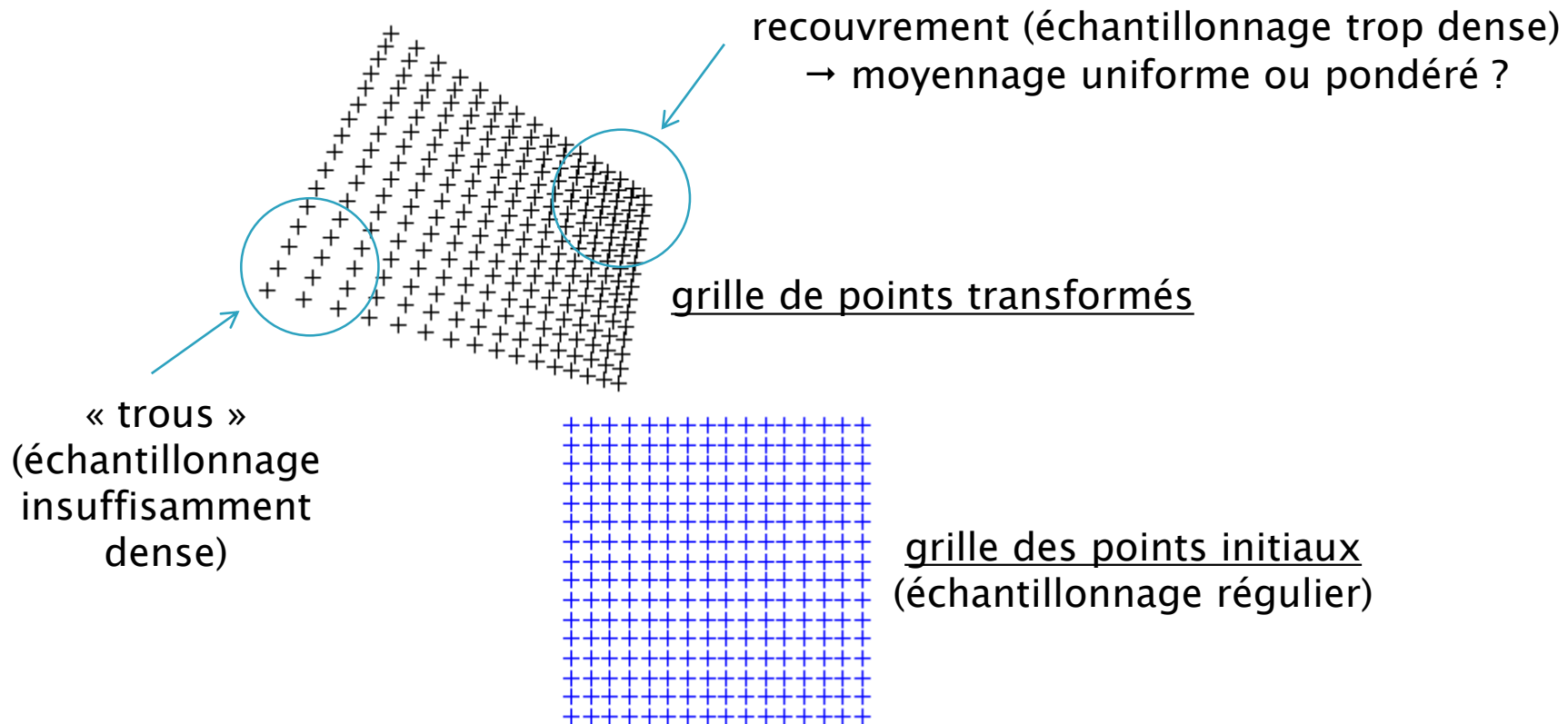
## Transformation paramétrique

$$I_1 \xrightarrow{T} I_2$$



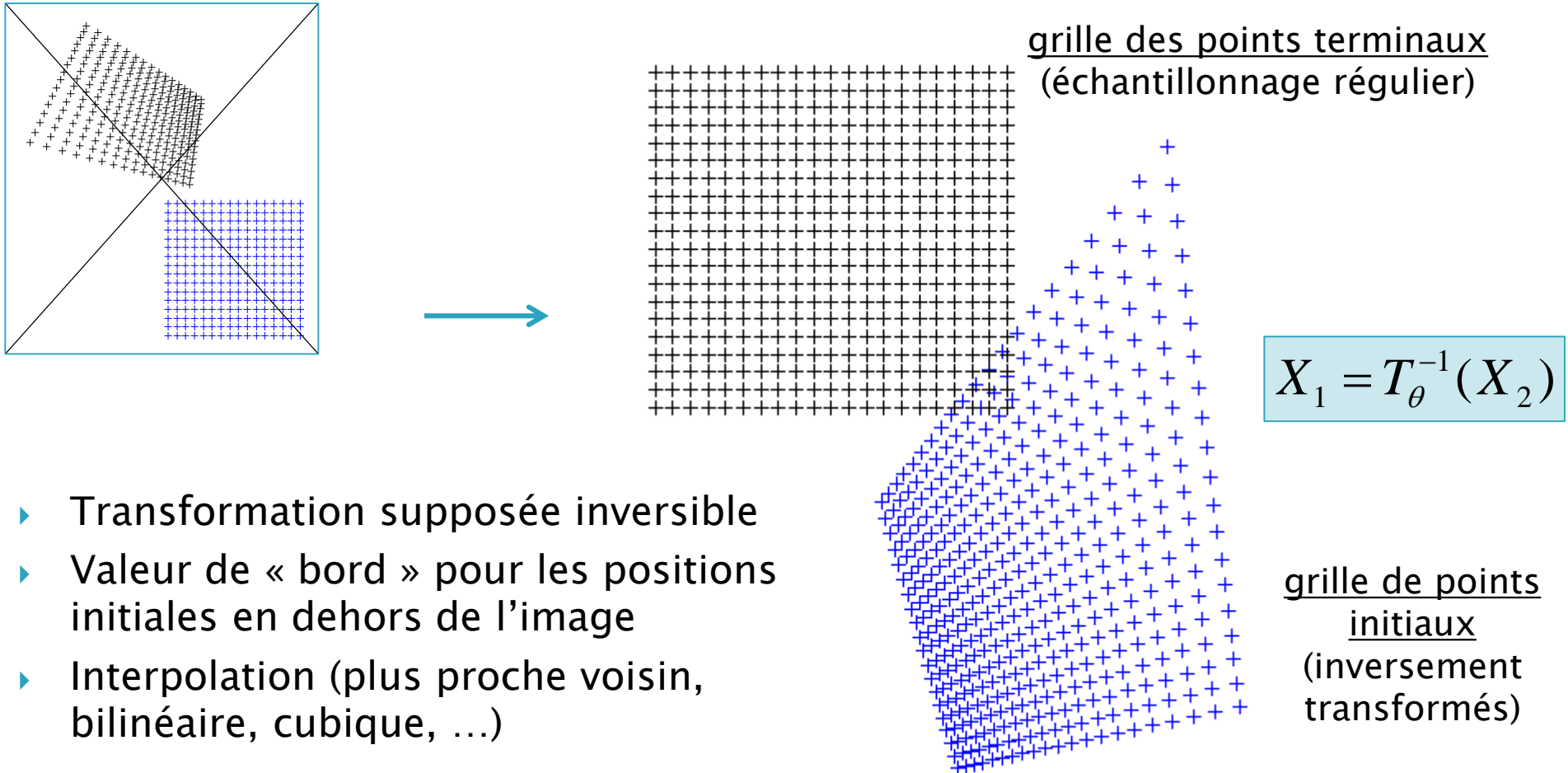
# Algorithme « naïf »

Principe : « déplacement » de pixels (coordonnées arrondies)



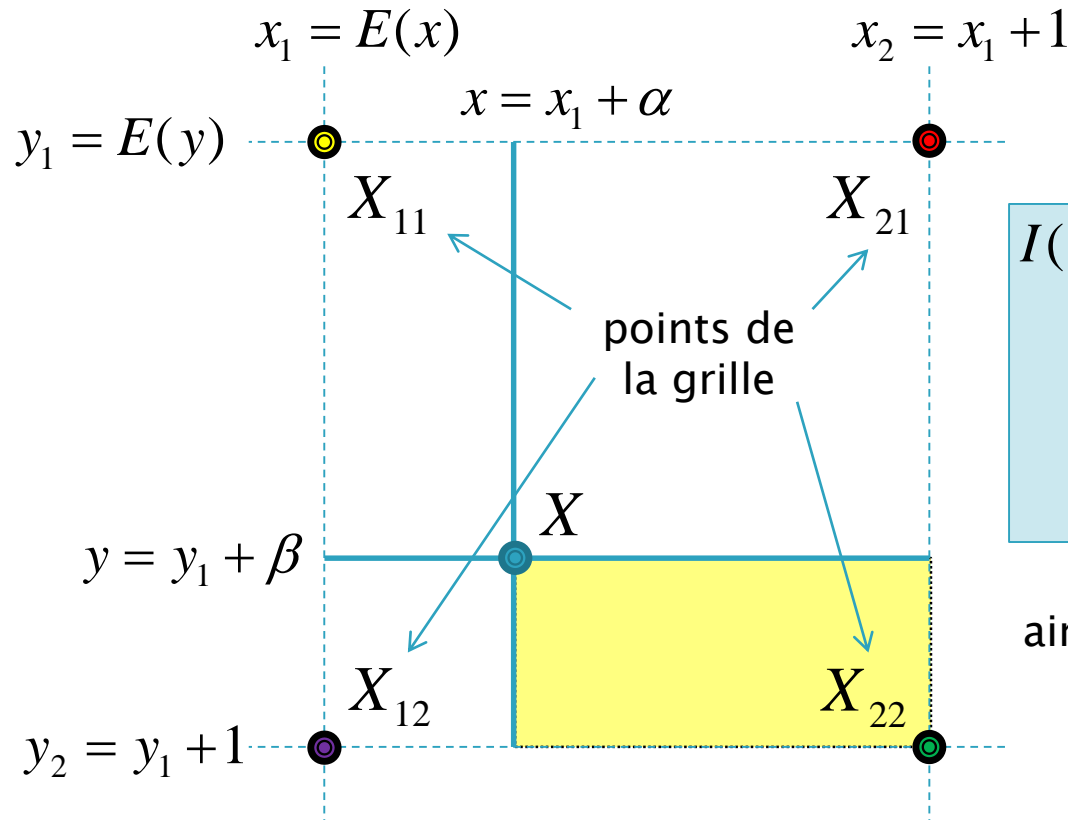
# Algorithme

Principe : « remplissage » de l'image transformée



# Interpolation bilinéaire

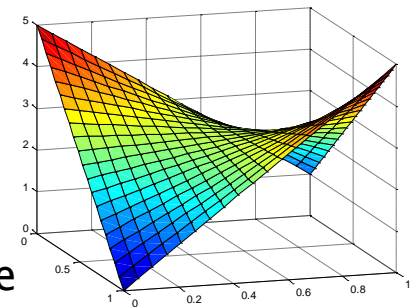
Utilisation de points voisins de la grille d'échantillonnage pour des positions à valeurs non entières



$$I(X) = \begin{aligned} &(1-\alpha)(1-\beta) I(X_{11}) \\ &+ (1-\alpha)\beta I(X_{12}) \\ &+ \alpha(1-\beta) I(X_{21}) \\ &+ \alpha\beta I(X_{22}) \end{aligned}$$

aire du rectangle opposé

interpolation non plane



# Transformations affines

- Translation

$$X_2 = X_1 + T$$

- Rotation

centre

$$X_2 = R(X_1 - X_0) + X_0$$

angle

$$R = \begin{bmatrix} \cos \alpha & -\sin \alpha \\ \sin \alpha & \cos \alpha \end{bmatrix}$$

- Changement d'échelle

$$X_2 = s(X_1 - X_0) + X_0$$

- Transformation affine générique

$$X_2 = AX_1 + B$$

↖ inversible pour une transformation non dégénérée



$$X_0 = (-200, -100) \quad s = 0.75$$



$$X_0 = (128, 128) \quad \alpha = 30^\circ$$

# Coordonnées homogènes

$$X_i = \begin{bmatrix} x_i \\ y_i \end{bmatrix}$$

Coordonnées euclidiennes



$$\underline{X}_i = \begin{bmatrix} x_i \times s_i \\ y_i \times s_i \\ s_i \end{bmatrix}$$

facteur d'échelle

Coordonnées homogènes

## Intérêts

$$X_2 = AX_1 + B$$

1 matrice et 1 vecteur de  
paramètres



$$\underline{X}_2 = H \underline{X}_1$$

1 matrice de paramètres

avec  $H =$

$$H = \begin{bmatrix} A_{11} & A_{12} & B_1 \\ A_{21} & A_{22} & B_2 \\ 0 & 0 & 1 \end{bmatrix}$$

changement d'échelle

rotation

translation

Cascade de transformations :

$$\underline{X}_2 = H_3 H_2 H_1 \underline{X}_1 = H \underline{X}_1$$



# Cas général – Homographie

$$H = \begin{bmatrix} H_{11} & H_{12} & H_{13} \\ H_{21} & H_{22} & H_{23} \\ H_{31} & H_{32} & H_{33} \end{bmatrix} \quad \begin{cases} x_2 = \frac{H_{11}x_1 + H_{12}y_1 + H_{13}}{H_{31}x_1 + H_{32}y_1 + H_{33}} \\ y_2 = \frac{H_{21}x_1 + H_{22}y_1 + H_{23}}{H_{31}x_1 + H_{32}y_1 + H_{33}} \end{cases}$$

Transformation projective d'un plan  
(8 degrés de liberté avec 9 coefficients à un  
facteur multiplicatif près)

→ translation, rotation, miroir, transformation affine, projection, ...

# Exemples

## ► Agrandissement



$$H = \begin{bmatrix} 1 & 0 & 0 \\ 0 & 1 & 0 \\ 0 & 0 & 1/1.25 \end{bmatrix}$$

## ► Rotation (autour de l'origine)



$$H = \begin{bmatrix} \cos 20^\circ & -\sin 20^\circ & 0 \\ \sin 20^\circ & \cos 20^\circ & 0 \\ 0 & 0 & 1 \end{bmatrix}$$

## ► Cisaillement



$$H = \begin{bmatrix} 1 & 0 & 0 \\ 0.2 & 1 & 0 \\ 0 & 0 & 1 \end{bmatrix}$$

## ► Homographie projective



$$H = \begin{bmatrix} 1 & 0 & 20 \\ 0 & 1 & 20 \\ -0.001 & 0.002 & 1 \end{bmatrix}$$

# Initiation au Traitement des Images

---



---

V – Prise en compte de la main

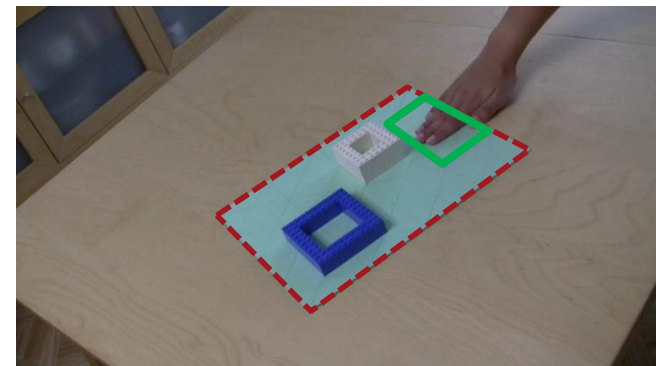
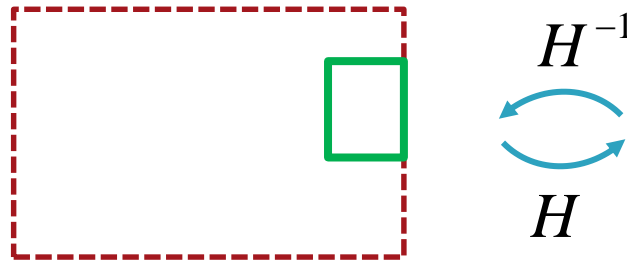
# Prise en compte de la main

## ► Observations

- Le contact feuille-main est quasi-rigide
- L'empreinte visuelle de la main qui occulte la feuille est quasi-plane

## ► Approche

- Zone d'intérêt rectangulaire définie empiriquement dans l'espace du contenu à insérer
- Segmentation colorimétrique de la feuille (détection de la main par complément)



# Segmentation couleur (1 / 2)

---

## ► Principes

- Choix d'un espace de représentation couleur
  - RGB
  - Lab
  - YCbCr, YUV
  - ...
- Evaluation binaire ou évaluée de la similarité d'une couleur quelconque par rapport à un modèle colorimétrique de référence

## ► Approche basique (modèle « rectangulaire »)

- 1 ou 2 seuils par composante couleur (similarité binaire)
- Avantage : simplicité
- Inconvénient : ensemble de couleurs très différentes identifiées comme semblables

# Segmentation couleur (2/2)

- Approche adaptative (modèle « elliptique »)

- Modèle  $\Theta = \{\mu, \Sigma\}$  calculé à partir d'un échantillon  $\{x_i\}$  représentatif

$$x_i = \begin{bmatrix} x_i^1 \\ x_i^2 \\ x_i^3 \end{bmatrix}, i = 1 \dots N$$

Diagram showing the calculation of the mean vector  $\mu$  and the covariance matrix  $\Sigma$  from the sample  $\{x_i\}$ .

Mean vector  $\mu$ :

$$\mu = \begin{bmatrix} \mu^1 \\ \mu^2 \\ \mu^3 \end{bmatrix} = \bar{x}_i = \frac{1}{N} \sum_{i=1}^N x_i$$

Covariance matrix  $\Sigma$ :

$$\Sigma = \begin{pmatrix} \Sigma^{1,1} & \Sigma^{1,2} & \Sigma^{1,3} \\ \Sigma^{2,1} & \Sigma^{2,2} & \Sigma^{2,3} \\ \Sigma^{3,1} & \Sigma^{3,2} & \Sigma^{3,3} \end{pmatrix}$$

avec  $\Sigma^{i,j} = \frac{1}{N} \sum_{k=1}^N (x_k^i - \mu^i)(x_k^j - \mu^j)$

- Métrique de ressemblance : distance de Mahalanobis

$$D_{\Theta}^{Maha}(y) = (y - \mu)^T \Sigma^{-1} (y - \mu)$$

- Similarité évaluée (à seuiller)

# Initiation au Traitement des Images

---



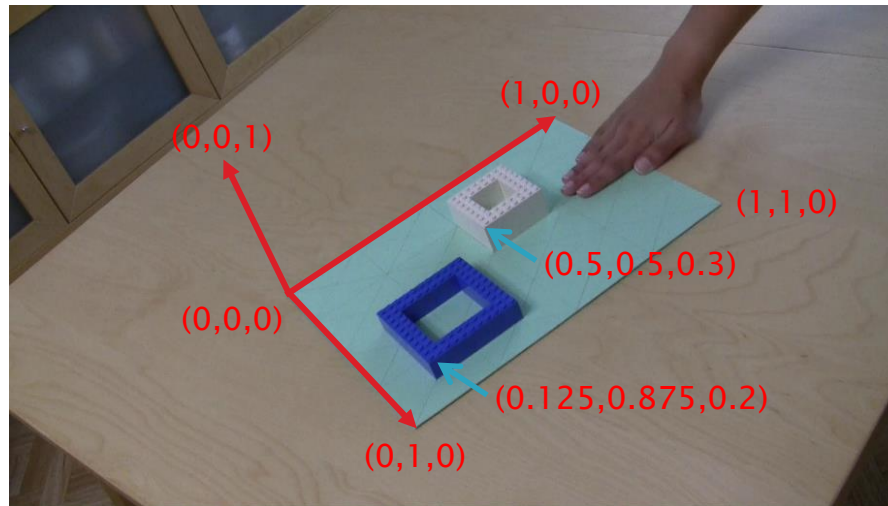
---

## VI – Ajout de contenus 3D

# Insertion de contenus 3D « fil de fer »

## ► Principes

- Détermination des paramètres d'une transformation rigide 3D→2D
- Application de la transformation à un modèle (à imaginer) composé de bipoints 3D (segments) définis dans un repère a priori



- Tracés des bipoints 2D (segments) projetés




# Transformation rigide 3D → 2D

- Formalisme en coordonnées homogènes

$$P = \begin{bmatrix} P_{11} & P_{12} & P_{13} & P_{14} \\ P_{21} & P_{22} & P_{23} & P_{24} \\ P_{31} & P_{32} & P_{33} & P_{34} \end{bmatrix}$$

$$\boxed{\underline{X}^{2D}_2 = P \underline{X}^{3D}_1}$$


$$\begin{cases} x_2^{2D} = \frac{P_{11}x_1^{3D} + P_{12}y_1^{3D} + P_{13}z_1^{3D} + P_{14}}{P_{31}x_1^{3D} + P_{32}y_1^{3D} + P_{33}z_1^{3D} + P_{34}} \\ y_2^{2D} = \frac{P_{21}x_1^{3D} + P_{22}y_1^{3D} + P_{23}z_1^{3D} + P_{24}}{P_{31}x_1^{3D} + P_{32}y_1^{3D} + P_{33}z_1^{3D} + P_{34}} \end{cases}$$

(11 degrés de liberté avec 12 coefficients à un facteur multiplicatif près)

- Estimation au moindres carrés (avec au moins 6 points appariés)

$$AX = B \rightarrow X = (A^T A)^{-1} A^T B \quad \text{pseudo-inverse (A rectangulaire)}$$

# Tracé de segments 2D (1 / 2)

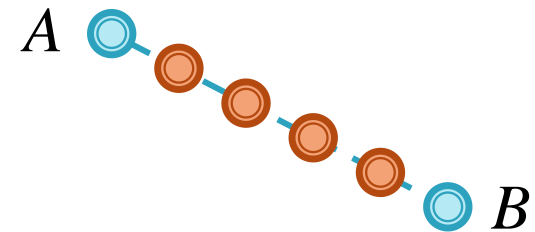
## ► Tracé « fin » d'un segment $AB$

- Détermination du nombre de points « utiles »

$$L = \underset{\substack{\uparrow \\ \text{partie entière}}}{E} \left[ \alpha \sqrt{(x_B - x_A)^2 + (y_B - y_A)^2} \right] \quad \text{avec } 1 \leq \alpha \leq 2 \quad \underset{\substack{\uparrow \\ \text{paramètre de sur-échantillonnage}}}{\alpha}$$

- Coordonnées des points à tracer

$$\begin{cases} x_i = x_A + \frac{i}{L-1}(x_B - x_A) \\ y_i = y_A + \frac{i}{L-1}(y_B - y_A) \end{cases} \quad i = 0 \dots L-1$$



# Tracé de segments 2D (2/2)

## ► Tracé « épais »

- Calcul du vecteur normé orthogonal  $n$  au segment  $AB$

$$\begin{cases} n_x = -\frac{y_B - y_A}{\sqrt{(x_B - x_A)^2 + (y_B - y_A)^2}} \\ n_y = \frac{x_B - x_A}{\sqrt{(x_B - x_A)^2 + (y_B - y_A)^2}} \end{cases}$$

- Multiples tracés « fin » de segments décalés  $A_j B_j$

$$\begin{cases} A_j = A + j \times n \\ B_j = B + j \times n \end{cases} \quad j = \{-1, 0, 1\} \text{ ou } j = \{-2, -1, 0, 1, 2\} \dots$$

# Initiation au Traitement des Images

---



---

## VII – Implémentation

# Calculs accélérés par vectorisation

---

## ► Problématique

- Diminution du temps d'exécution par substitution de calculs « par ensembles » à des calculs « point à point »
  - Substitution de boucles « compilées » à des boucles « interprétées » (de moins en moins vrai avec le JIT Matlab !!!)
  - Réduction du nombre d'appels de fonctions « atomiques »
- Nécessite souvent de réorganiser la séquence de calculs et de créer des structures de données intermédiaires
- Calculs par ensembles
  - Expressions arithmétiques et logiques
  - Calculs vectoriels et matriciels
  - Fonctions mathématiques
  - Algorithmes à fenêtre glissante (convolution, etc...)
- Accès vectorisés en lecture/écriture aux structures de données
- Applicable également dans le contexte de calculs parallélisés (GPU)

# Accès lecture/écriture vectorisés

## ► Accès multidimensionnel (par coordonnées ou par plage)

- vecteurs
- matrice 2D
- matrice nD

$$v(2) = w(3)$$

$$v(4:5) = w(7:8)$$

$$A(8, 7) = B(10, 8)$$

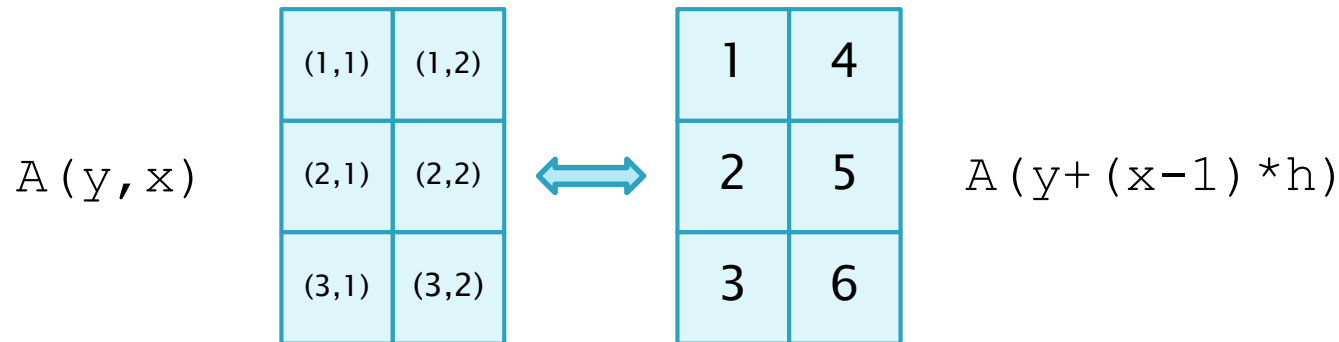
$$A(2:4, 3:8) = B(1:3, 4:9)$$

$$A(5:6, 7) = B(1:2, 3)$$

$$A(2:3, 6, 4:7, 6, 2) = B(3:4, 2, 1:4, 5, 1)$$

## ► Accès vectorisé

- lois de conversion « multidimensionnel → ordre de stockage »



- accès aléatoires par listes appariées (vecteurs) de même cardinal
  - ❑ non ordonnés
  - ❑ non structurés par plage

$$v([14 \ 2 \ 6]) = A([25 \ 30 \ 7])$$

# Un exemple (1 / 4)

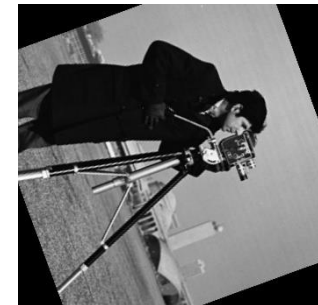
- ▶ Rotation d'une image
  - autour de son centre
  - paramétrée par un angle
  - conservant ses dimensions initiales



$\theta = 20^\circ$



$\theta = 45^\circ$



$\theta = 70^\circ$

# Un exemple (2/4)

## ► Implémentation classique « point à point »

```
function B = rotate(A, angle)

[h, w] = size(A);
B = zeros(h, w);
c = cos(-angle*pi/180); s = sin(-angle*pi/180);
H = [1 0 -w/2; 0 1 -h/2; 0 0 1];
H = [c -s -w/2; s c -h/2; 0 0 1]*H;
H = [1 0 w/2; 0 1 h/2; 0 0 1]*H;
for y2 = 1:h
    for x2 = 1:w
        M2 = [x2; y2; 1];
        M1 = H*M2;
        x1 = round(M1(1)/M1(3));
        y1 = round(M1(2)/M1(3));
        if ( x1 >= 1 && x1 <= w && y1 >= 1 && y1 <= h)
            B(y2, x2) = A(y1, x1);
        end
    end
end

end
```



# Un exemple (3/4)

## ► Implémentation vectorisée « par ensembles »

```
function B = rotate(A, angle)

[h, w] = size(A);
B = zeros(h, w);
c = cos(-angle*pi/180); s = sin(-angle*pi/180);
H = [1 0 -w/2; 0 1 -h/2; 0 0 1];
H = [c -s -w/2; s c -h/2; 0 0 1]*H;
H = [1 0 w/2; 0 1 h/2; 0 0 1]*H;
[X2, Y2] = meshgrid(1:w, 1:h);
M2 = [X2(:)'; Y2(:)'; X2(:)'*0+1];
M1 = H*M2;
X1 = round(M1(1, :)./M1(3, :));
Y1 = round(M1(2, :)./M1(3, :));
pos = find((X1 >= 1).*(X1 <= w).*(Y1 >= 1).*(Y1 <= h))
B(Y2(pos)+(X2(pos)-1)*h) = A(Y1(pos)+(X1(pos)-1)*h);

end
```

# Un exemple (4/4)

## ► Comparaison

- temps d'exécution réduits (rotation)

	256×256	1024×1024	4096×4096
« point à point »	13,9 ms	216 ms	3,53 s
« par ensembles »	4,2 ms	98 ms	1,53 s

Matlab R2019b, Intel i7-8750H 2,21Ghz

- gains variables
  - ❑ selon la séquence de calculs (créations de données intermédiaires coûteuses en temps et en mémoire)
  - ❑ selon la version de Matlab (le « Just in Time » du moteur d'interprétation ne cesse de s'améliorer !)

# Fonctions Matlab autorisées

---

- ▶ Gestion de vidéos
  - Lecture (**videoReader**, **hasFrame**, **readFrame**)
  - Ecriture (**videoWriter**, **open**, **writeVideo**, **close**)
- ▶ Interaction
  - Sélection d'une région d'intérêt (**ginput**)
  - Affichages basiques (**imshow**, **image**, **imagesc**, **plot**, **line**, ...)
- ▶ Calculs
  - Fonctions mathématiques (**exp**, **sin**, ...)
  - Fonctions élémentaires (**min**, **max**, **mean**, **sum**, **floor**, **round**, **ceil**, **find**, **conv2**, ...)
- ▶ Environnement
  - Sauvegarde de variables du workspace (**save**)
  - Chargement de variables dans le workspace (**load**)